

I-132 鋼管杭自動溶接鍵手部の強度に関する研究

川崎製鉄(株) 鋼構造研究所 正会員 ○高橋千代丸

" " 金子忠男

" " 山崎徳也

1 まえがき

鋼管杭の現場機会を実行せ溶接では、鍵手の製作および施工誤差による不整が多く、特に、目違いは鍵手部の引張強度を低下させる原因にはるとして重要な施工管理の対象にはっている。したがいに、実行せ溶接鍵手部を有する鋼管杭の最大曲げ破壊試験の経験とはほとんど圧縮側の座屈が最大耐力が決定し、引張側の破断や溶接部の異常が認められることから、加算では、目違いをパラメータとして杭の圧縮試験を行はって、これらかの強度に及ぼす影響を調べた。また、目違いがある場合の一一般的な鍵手として用いられるスリット裏当て金方式を発展改良させ、これら裏当て金で内盛溶接によって母材と一体的に製作された鍵手では、裏当て金を含めた鍵手部が母材よりも厚にはつていうことから、ここに、リング状カリブ効果も期待できることではないかとの推論のもと、圧縮スパンセミパラメータとして座屈耐力への影響を調べ、併せてJISの標準引張試験結果との対比も行はった。

2 実験概要

2-1 供試体 鍵手形状には、裏当てあわせにれ落ち防止用あて金で内盛溶接にて母材と一緒に製作した新型のスリット裏当て方式Aと、標準的な1枚裏当て方式Bとを用い、目違いは溶接可能な範囲、すなはち±5, ±3, 0mmとし、A鍵手は全自动で、B鍵手はノガス半自動で溶接施工した。また、供試体が鋼管であることを、円周全断面にわたる同一目違いを得ることが困難であるため、溶接された鋼管杭下端、1/4円筒状に切り出した曲板状の試験片を用いることによって、比較的目違い変化を少なくてし、はむかづより実大に近くなりうるよう配意した。部材長は250, 350, 500mmの3水準とし、使用鋼管はSTK41, 508φ×9.5tであった。

2-2 溶接条件 鍵手強度や溶接部の性能に左右されるのは当然であるから、これによる実験のバラツキを防ぐため、A, B両鍵手とも炭酸ガス全自动での施工計画を立てたが、B鍵手では、目違いに対する裏当て方式に問題があって溶接不可能となり、ために、止めて得ず、ノガス半自動で溶接した。本文では、上杭が手前に突出する場合を①、その反対を②の目違いとして解説を進めるが、B鍵手では、①の目違いのとき溶融メタルの流れ落ちがみられたため、管外周部足位置にハンドル状の鋼当てを設置してこれを防いだ。表-1に溶接条件を、

写-1に鍵手のマクロ断面を示したが、B鍵手、①の目違いのときにはやや難免があつたが、

施工性および溶込みとも良好であった。

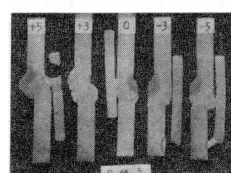
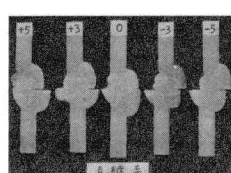
2-3 試験方法 図-1に供試体形状を示したが、両側端はフリーレンジ、上下端には剛性の大きい耐圧盤を介して等分布荷重が作用するようにした。載荷には200ton～万能試験機を用い、供試体に貼付されたW.S.G.の歪をテエットしながら、全断面均等に負荷されるよう努めし、単調に荷重を増加して破壊に至らしめた。軸方向変位は耐圧盤間の4箇所に配置した4個の1/1000マーテルゲージで計測した。また引張試験はJIS Z 3121に定められた平行部幅を有するが、圧縮試験との対比を行なう実際上、余盛裏当て金付の状態を行はった。

3 結果と考察

圧縮試験では、大旨、①の目違いのとき上杭、②の目違いにおいて下杭の自由側端から横たわみがますます生じ、それが荷重の

表-1. 溶接条件

鍵手目違い (mm)	層電流 (A)	電圧 (V)	速度 (cm/min)	備考
+5	1300	30	57	40炭酸ガス 全自动
	2300	30	56	
	3300	30	56	
	1390	35	34	
±3	2300	30	57	KC-50
	1300	30	50	1.6 ^b
-3	2390	35	34	KC-2 3.2 ^b
	3300	30	56	
-5	1380	27	14	ノガス 半自動
	2300	22	19	
	1380	27	17	
	2330	25	35	
±3	1350	26	18	3.2 ^b
	2300	23	27	



写-1. マクロ断面

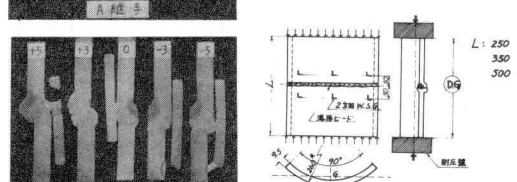


図-1. 供試体

荷重一軸方向変位

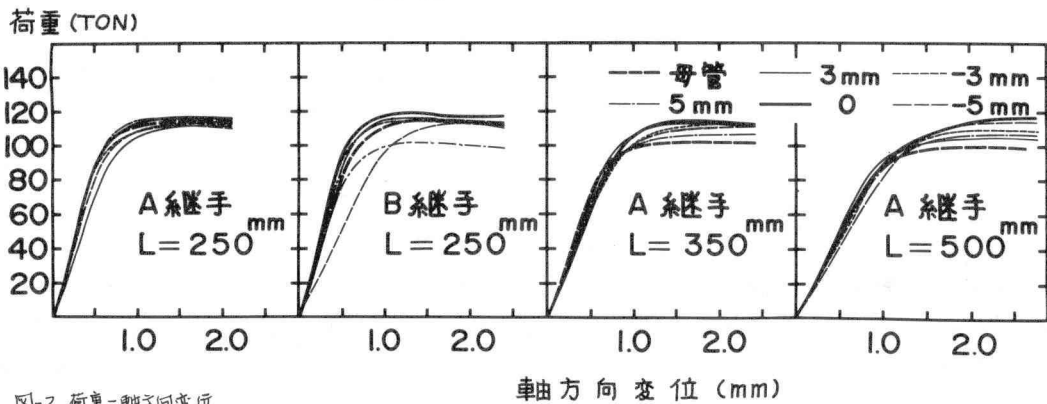


図-2. 荷重-軸方向変位

漸増とともに拡大して破壊に至った。図-2に荷重と軸方向変位の関係を示す。同図から、母材と一体的に製作された締手A-2は、圧縮スパンLが増加するにつれて母管変位性状との差が拡大し、L=500においては、目盛りに關係なく最大耐力が増加して、この事が確認される。一方B締手では、目盛り±3mm以下においては、母管と同等の性能を示すのに対し、+5mmでは最大耐力が、-5mmでは剛性がそれより大きく低下している。一方母管耐力を P_0 、締手耐力を P 、目盛り \pm 有する場合の補正係数を μ とし、 $P = P_0(1 + \mu)$ の関係式を用いて、目盛りと耐力との関係を示したもののが図-3、4である。同図からは、A締手に対する μ_C （最大耐力に対する）が、L=250, ±5mmのとき負にはなるものの、L=350, L=500において正であることから判断し、ある程度の部材長を有するA締手では、溶接部が補強力の目的で結果を發揮し、母材強度を上まわるものと推測される。すなわち、母管の座屈では、圧縮スパンのはalf中段部が溶接の頂点となるのに對し、補強効果を有するA締手では、スパン中央の溶接部が干渉点となり、この点を中心として上下載荷変位の2alfに圧縮スパンが分配された結果（写-2）、脚部の座屈荷重増加があったものと判断できる。また、降伏耐力（ここでは部材長の0.02%の永久歪を許可荷重をalf）に対する補正係数 μ_y は、L=500を除く μ_C より低下しているが、これは、溶接残弾性力とそれに伴う初期不整の影響で短かい部材においてより顯著に受けたものと考えられる。

目盛りと引張強度の関係では（図-5）、A締手が全数母材破断であるのに対し、目盛り+5mmのB締手では溶接不足による規格落ちが生じ、図-3、4における μ_y の急激な低下と傾向を同じくしている。この事実から、ド厚不足による異常な応力伝播は、単に引張強度のみならず、圧縮耐力をも低下させる原因になるといえる。

以上から、溶接時ににおける突き抜けや孔詰めが生じる約10分の断面を有し、かつ、母材と一体的に構成されたA締手では、これと全自動溶接と併用することになり、標準締手に較べて一層の剛性および溶込み期待でき、よって機械への適用しに際し、本方式は従来よりはるかにすぐれた締手であろうといえる。

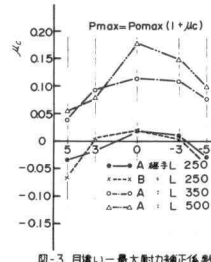


図-3 目盛り-最大耐力補正係数

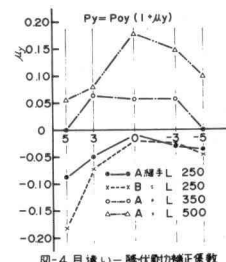


図-4 目盛り-降伏耐力補正係数

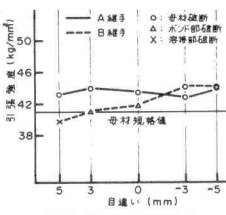
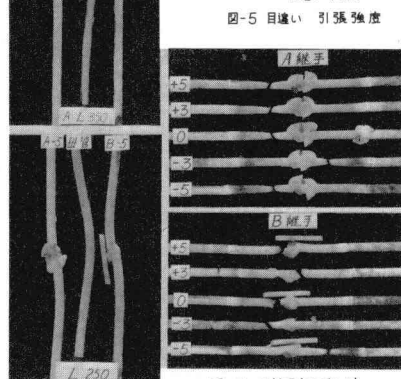


図-5 目盛り 引張強度



写-2. 破壊部のT.P

写-3. 引張試験片